

## 特別講演

大韓熔接學會誌  
第2卷 第2號 1984年12月  
Journal of the Korean  
Welding Society  
Vol. 2, No. 2, Dec., 1984

### 船舶의 損傷과 防止對策\*

— 破壞管理制御의 實際 —

矢 島 浩\*\*

### Damage of Ship and Its Prevention\*

by  
Hiroshi Yajima\*\*

#### 1. 序論

船舶이나 海洋構造物에 있어서 일단 損傷이 발생하게 되면 重大한 災害로 發展할 危險性이 대단히 큰 것은 말할 나위도 없다. 이들의 強度設計는 長期間에 걸쳐 蓄積된 實積을 基礎로 하여 소위, 經驗工學에 基礎를 둔 各國 船級協會規定 등을 基準으로 하여 행해져 왔다. 즉 近似的인 強度解析(部材力 및 應力의 解析)을 수행하여 損傷實積을 基礎로 한 許容應力を 設定하고, 이에 따른 相對的 評價를 反復하여 改良을 거듭하는 방법에 의했다. 그런데 船體構造와 같은 高次의 不靜定構造物에 있어서는 嚴密히 균열의 發生強度를 檢討基準으로 하는 것은 불가능에 가깝고, 또한 경험하지 못한 경우도 많다. 균열의 존재 自體가 設計上의 不備를 뜻하고, 損傷의 發生을 許容應力의 輕減에 의해서만 回避하려고 하던 종래의 設計觀念에는 自體의 한계가 있다고 생각된다.

한편 지금까지 建造해 본 적이 없는 特殊船의 開發建造 및 LPG船, LNG船과 같이 만일의 損傷時 大規模災害가 發生한 危險性이 있는 船舶에 대해서는 그 經濟的 要因에 의해서도 破壞의 관리에 의한 fail safe design의 導入이 필요하다고 생각된다.

船舶設計에서 fail safe design 導入, 즉 “船殼의 破壞管理制御設計”는 破壞力學 理論을 活用하고 利用하는 것으로 부터 시작된다. 즉 疲勞균열의 發生, 傳播 그리고 脆性破壞發生, 傳播 또는 傳播停止 등 균열을 主體로 한 損傷過程의 把握을 기초로 하여 船殼部材(熔接이음부 포함)의 許容應力 또는 齡命의 計算, 결합許容值의 設定, 材料選定의 判斷基準 등 各種 必要判斷事項에 대하여 하나의 근거를 주는 것이다. 또 균열의 존재는 許容하여도 사용기간 중에 致命的인 破壞을 일으키지 않도록 構造方式의 開發, 設計를 追求하는 것도 된다.

이상과 같은 배경으로 부터 본 고에서는 船舶에서 破壞防止對策의 일환으로 船殼의 破壞管理制御 實제에 대하여 약간 소개하고자 한다.

#### 2. 船舶에 있어서의 損傷例

船舶의 疲勞損傷에 대해서는 많은 損傷例가 報告되어 있다. 더구나 어느 損傷例에 있어서도 構造的 應力集中部, 熔接결합, 微小균열 및 가스 놋치 등의 局部的 應力集中 존재가 원인이 되고 있는 것은 再論의 여지가 없다. 또한 發生 成長한 疲勞균열이 脆性破壞로 移行하게 되면 쉽게 大破壞로 發展하게 된다.

\* 1984年5月12日 春季學術發表大會에서 特別講演  
\*\* 三菱重工業 株式會社 技術本部 長崎研究所

이미 널리 알려져 있는 바와 같이 第二次 大戰 中 美國에서 建造된 戰時 標準船의 破壞 例는 典型的인 脆性破壞 例이다. 대표적인 例로써 1943年 1月 16日 美國 Oregon 주 Portland 港에서 試運轉을 끝내고 岸壁에 係留中이던 Schenectady 號가 夜間에 큰 소리와 함께 완전히 두 부분으로 折損한 例를 들 수 있다. Fig. 1은 破壞한 艇의 船殼狀況이다.<sup>1)</sup> 이 戰時 標準船의 破壞 例는 戰時 중에 많은 船舶을 急造하여야 할 必要 때문에 建造期間 短縮을 위해 熔接이 전면적으로 採用되었다는데 最大의 원인이 있다고 말할 수 있다. 즉 熔接결합과 熔接入熱에 의한 残留應力이 주된 원인이라고 생각된다. 더구나 全熔接構造로써 整體가 일체로 되어있기 때문에 大破壞로 發展한 것이라고 생각된다. 물론 사용된 鋼板의 研究非性值와 設計的 配慮도 현재에 비하면 비교가 되지 않는다는 것은 말할 필요도 없다. 약 5,000척 建造한 가운데서 약 1,000척에 대하여 약 1,500件의 損傷이 발생하였던 것이다. 그 가운데 약 250척은 跟蹤에 因하여 발생하여 船體強度 상 중대한 것이었고, 약 20척은 완전히 물로 折損하여 폐기되었다.

일본 近海에서도 여러번의 大損傷이 발생하고 있다. 대표적인 例를 2~3개 소개한다. 1953年 1月 8日 原油를 滿載하고 뉴기니아의 주란에서 岩國으로 항하여 북상하던 중 奄美大島의 외항에서 荒天을 만나 순간적으로 船體가 물로 折損한 텅커 Avanti號(15,700 D. W. T.)의 例가 잘 알려져 있다.<sup>2)</sup> Avanti號는 1946年 스웨덴에서 建造된 노르웨이의 텅커였다. 물로 折損

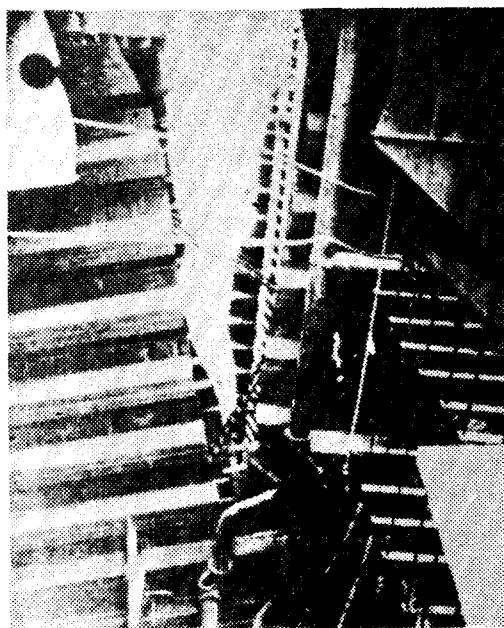


Fig. 1. 戰時 標準船 Schenectady 號의 脆性破壞狀況

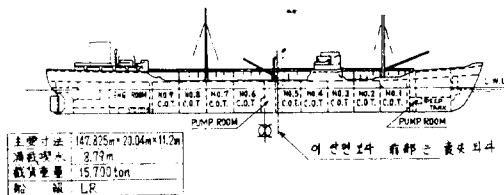


Fig. 2. Avanti號의 脆性破壞의 概要

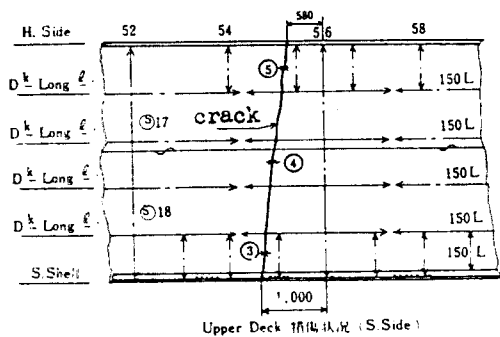
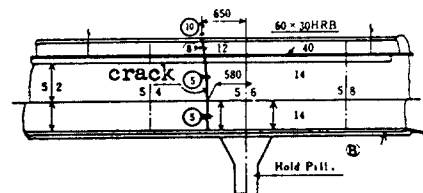
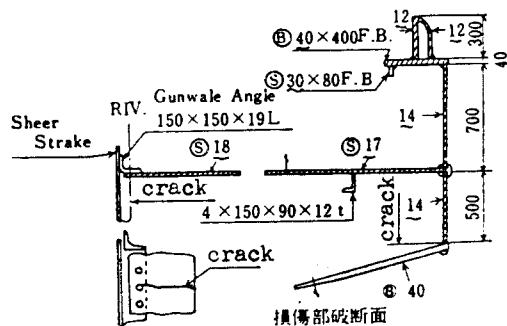


Fig. 3. 木材 運搬船 上甲板의 脆性破壞 狀況

후 前半部는 沈沒하였고 後半部는 美海軍에 의해 구조되어 그 후에 三菱重工業 長崎造船所에서 再生工事が 행해졌다. 戰後 混亂時に 建造되었기 때문에 사용된 鋼板의 破壞非性值도 낮고 熔接도 오늘날 상상도 할 수 없을 정도의 수준이었다.

또 1969年 1月 8日 門司를 出港하여 Nakhodka를 향하여 북상 중이던 木材運搬船(7,292 D. W. T.)의 上甲板이 脆性破壞를 일으켰다. 破壞發生時の 溫度는  $-1^{\circ}\text{C}$  정도였다고 추정되고 있다. 破壞의 起點은 Ha-

tch의 Top coaming 内側 cover plate의 맞대기 熔接部의 熔接결합이었다. 上甲板을 傳播한 균열은 舷側까지 이르러 上甲板 stringer angle 고착용 rivet 구멍에서 정지하였다. (Fig. 3 참조)

이와 같은 通常船의 脆性破壞 이외에도 漁船이나 冷凍運般船의 冷藏船의 溫度가 以前보다 낮아진 것이 원인이 되어 冷藏船이나 急速冷凍室의 갑판에 대한 脆性破壞가 두드러지게 나타나고 있다. 이와 같은破壞에는 冷藏船 때문에 甲板이 低溫으로 된다든지 주위와의 溫度差에 의하여 생기는 熱應力이 크게 영향을 미치고 있다. 또 破壞의 起點에는 熔接결합이나 가스 놋치 등이 존재하고 있는 것이 대부분이다.<sup>3)</sup>

최근의 損傷例로 흔히 눈에 띄는 것은 應力集中부에서 發生成長한 疲勞균열이 使用條件의 惡化(使用應力 또는 熱應力의 增加)와 (破壞發生時의 溫度에 있어서) 材料의 破壞非性值 부족 때문에 균형을 유지할 수 없게 되어 脆性破壞로 移行하는 損傷例(Fig. 4 참조)이고, 이와 같은 損傷은 계속되고 있다. 더구나 이와 같은 損傷은 大破壞로 發展할 경우가 많다.

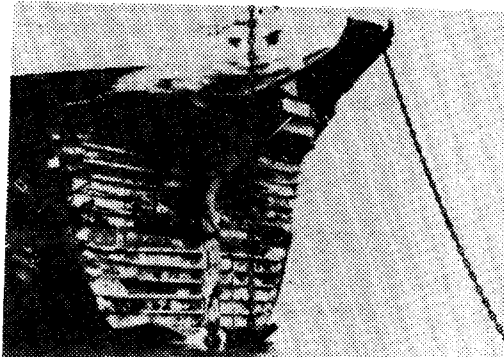


Fig. 4. 航海 중에 船首部가 망실된 Tanker(13萬 D.W.T.)의例

### 3. 船殼의 破壞管理制御에 대한 생각과 現象

최근 急速히 發展하여 온 破壞力學에서는 熔接결합이 라든지 疲勞균열先端 등에 있어서의 應力集中 또는 變形率集中부의 K值(stress intensity factor, 주로  $K_I$ 值 등), COD(crack opening displacement) 또는 J積分值 등이 극히 가까운 周圍의 material에 대한  $K_c$ 值(critical value of  $K$ 의 의미로서 material의 破壞非性을 나타내는 값 주로  $K_{Ic}$ 值 등),  $\delta_c$ 值(critical value of COD의 의미로서 material의 破壞非性을 나타내는 값), 또는  $J_c$ 值(critical value of J-integral의 뜻으로서 material의 破壞非性을 나타내는 값)을 넘게 되면 平衡이 무너져 破

壞가 發生한다고 생각된다. 즉 K值, COD值 또는 J積分值는 應力(變形率) 集中부의 幾何學的 形狀 치수와 應力(變形率) 條件 등으로부터 정해지는 物理量이고  $K_c$ 值,  $\delta_c$ 值 또는  $J_c$ 值는 일종의 material定數라 생각되고 있다. 低溫脆性를 나타내는 material에 있어서는 溫度가 낮게 되면  $K_c$ 值,  $\delta_c$ 值,  $J_c$ 值가 작게 된다.

이러한 생각은 많은 實驗室的 現象, 實構造物에 있어서의 破壞例에 대한 逆解析 등에 의해 工學的으로 확인되었다.

그래서 構造物 安全性의 維持 確認을 實現하기 위한 設計思考의 하나로서 소위 fail safe design<sup>4)</sup> 널리 알려져 있다. 이의 基本的概念은 material 및 構造가 그 製造過程에서 불가피하게 극히 微細한 결점이 있게 될지도 모른다는 생각으로부터 出發하고 있으며, 成長하고 있는 균열이 機能을 상실하는 許容限界의 크기에 도달하기 이전에 檢出 探知 및 補修되도록 設計하고 管理할 것이 要求된다. 즉 限界 이하의 균열발생 및 成長은 許容될 수 있으나 항상 構造物의 殘餘強度를 파악하면서 構造物의 安定性을 確保하고 機能을 다할 수 있도록 하는 方向으로 指向해야 한다.

低溫型 LPG船, LNG船, Tank의 安全性評價에 實容화되어 있는 “leak before failur”思考, 바꾸어 말하면 균열의 존재는 許容하나 致命的인 機能喪失의 事態에는 결코 이르지 않을 것을 基準으로 하는 設計思考, 즉 破壞管理設計制御가 今後 重要한 課題가 될 것이다.

板骨構造의 集積體인 船殼의 設計에 破壞管理制御의思考를 적용할 경우 다음과 같은 問題點이 지적된다.<sup>4)</sup> 즉

① 균열 強度解析을 實施함에 있어서 平板의 面內問題인 경우는 疲勞균열의 傳播, 脆性균열의 發生現象에 대하여 풍부한 解析例 및 實驗例가 便覽化 實驗式化 되어 있다. 그러나 平板과 平板의 立體交叉部(通常은 필렛 熔接部) 및 그 주변에 균열先端이 위치하는 경우에 대해서는 문제가 매우 복잡하여 아직 便覽化나 實驗式化가 되어 있지 않다.

② 荷重條件(海上條件 등)은 確을적으로 밖에 주어지지 않으며 最苛酷狀態를 어떤 設計的 判斷에 의하여 결정할 수 밖에 없다.

③ 板骨構造(防撓板構造)의 集積體로서 高次의 不靜定構造인 사설에서 균열의 擴大에 의한 힘의 再分配는 반드시 일어난다.

④ 熔接工作에 의한 局部形狀(덧붙임形狀, 토우部形狀 등)의 差異는 크고, 이를 局部形狀을 미리 特定하게 한다든지 均一化 하기는 곤란하다.

⑤ 疲勞균열의 傳播나 脆性균열의 發生에 대해서는 工

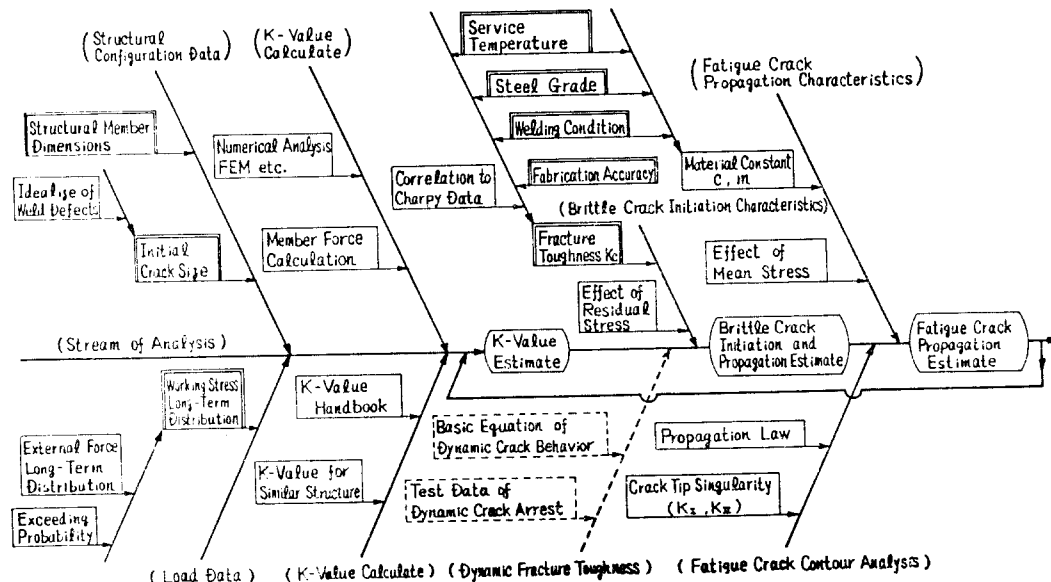


Fig. 5. 破壞力學 解析의 Flow Chart

學的인 基準을 확립하는 등 關連되는 材料定數의 수집이 어느 정도 整備되어 있지만, 脆性균열의 傳播, 停止條件에 대해서는 靜的 解析에 의한 評價나 設備基準은 있어도 動的 現狀을 正攻法으로 취급하기 시작한 것은 극히 最近에 있어서의 일이다. 따라서 脆性균열의 傳播나 停止條件은 그에 관련하는 材料定數를 결정하는 데 대해서 便覽化, 實驗式化가 앞으로의 課題라고 말하지 않을 수 없다.

그래서 균열을 수반하는 損傷을 fail safe的으로 許容하던가 또는 補修할 때의 判斷도 많은 경우 破壞力學에 의한 균열 強度나 壽命計算 評價에 의존하고 있다. 일반적으로 破壞力學에 의한 균열 強度計算의 경우 計算內容 또는 Flow는 Fig. 5에 例示한 바와 같다. 단 Fig. 5에서는 疲勞균열의 傳播나 脆性균열의 發生 등을 評價할 指標로서 소위 K概念을 생각한다.

船殼部材 균열 強度計算의 대부분은 K概念이 적용 가능하다고 생각하고 있으나 부분적으로는 다른 破壞力學 Parameter를 導入하는 評價도 필요하게 된다.

Fig. 5는 計算의 流程에 대한一般的인 例이나 여러 경우에는 檢討對谷部材나 균열形狀에 따라서 그 중 特定計算 Process가 重要度를 증가시키고 다른 부문은 상당히 簡略화, 近似化를 피하는 것이 통례이다. 즉 鋼板의 片面에 생긴 表面균열이 板두께를 貫通하여 內容物의 漏洩을 일으키느냐 아니냐의 상태를 判斷基準으로 하는 경우, 즉 “機能不全”을 이 상태로 생각하는 경우, 또는 内殼材로부터 進展한 균열이 外板을 뚫어 海水가

流入하기 시작하는 狀況을 생각했을 경우, 또는 bracket와 같은 補強部材가 破斷하여 補強効果를喪失한 상태를 생각하는 경우 등에 따라서 計算 流程에 있어서의 point를 놓는 방법이 다르게 된다. 그런데 “機能不全”인 때와 같은 狀況를 생각할 때는 部材의 種類나 重要度 또는 船殼 자체의 用途나 社會의 要請 등에도 좌우되며, 전적으로 設計的 選擇에 맡겨지는 性質의 것이다. 따라서 fail safe的으로 許容될 수 있는지 없는지의 評價도 아래에 제시되는 몇개의 pattern으로 分類될 수 있다. 단지 斷判基準을 정할 때는 균열 強度計算만 아니라 漏洩 가스 檢知精度, 檢查點檢精度 등과 같은 다른 要素의 技術이 關連하는 경우도 있다.

① 隔壁 등의 一次部材나 bracket 등의 二次部材에서 생긴 균열이 疲勞균열로서 傳播하기 시작한 경우 不安全的 擴大를 일으키기 以前에(또는 內力平衡을 잃어서 뒤이어 大規模 損壞를 유발하기 以前에) 點檢하여 알 수 있는지의 與否, 또는 停留化하는지의 與否, 또는 예정된 船鈴에 이르렀는지의 與否.

② 構造的 應力集中部나 平板 中의 疲勞균열이 脆性破壞로 移行한 경우 沢止性能이 우수한 鋼板이 存在하거나 構造的으로 沢止能力이 있는 板交叉部가 存在하거나, 또는 應力 및 溫度에 따른 條件 등에 의해 大規模破壞를誘發하지 않는 위치에서 停止하는지의 與否.

③ 表面 결함으로 부터 發生한 균열이 板두께를 貫通하여 內容物이 漏洩하기 시작할 경우, 균열의 不安靜의 擴大에 의한 內容物의 大量流出을 일으키기 이전에 이

상태가 檢知되는지의 與否.

④ 内構材 등의 결합으로 부터 발생한 균열이 外板部에 달하여 板 두께를 貫通할 경우, 海水流入에 의한 荷物污損 또는 荷物流出이 일어나기 이전에 이 상태를 點検할 수 있는지의 與否 등이다.

이들 중 ③의 斷判基準에 比較的 가깝다고 생각하는 것을 合否基準으로 사용하고 方形 獨立탱크方式 低溫型 LPG 船의 탱크에 leak before failure의 概念 ("Type B"로 하여 評價)이 成立하는지의 여부를 評價

法으로 檢討하였다.

日本造船研究協會 RR3M 委員會의 檢討 flow chart 를 Fig. 6에 나타내었다.<sup>5)</sup>

한편 船殼의 破壞管理制御를 수행함에 있어서 日本造船研究協會 第153研究部會 SF小委員會(第169研究部會로 後續)에서, 船殼構造의 破壞力學的 見地로 부터 分類作業이 실시되었다.

즉 船舶의 種類 및 構造方式에 따라 여러 가지 部材로 포함하는 船殼를 먼저, 위치(船側構造, 甲板構造

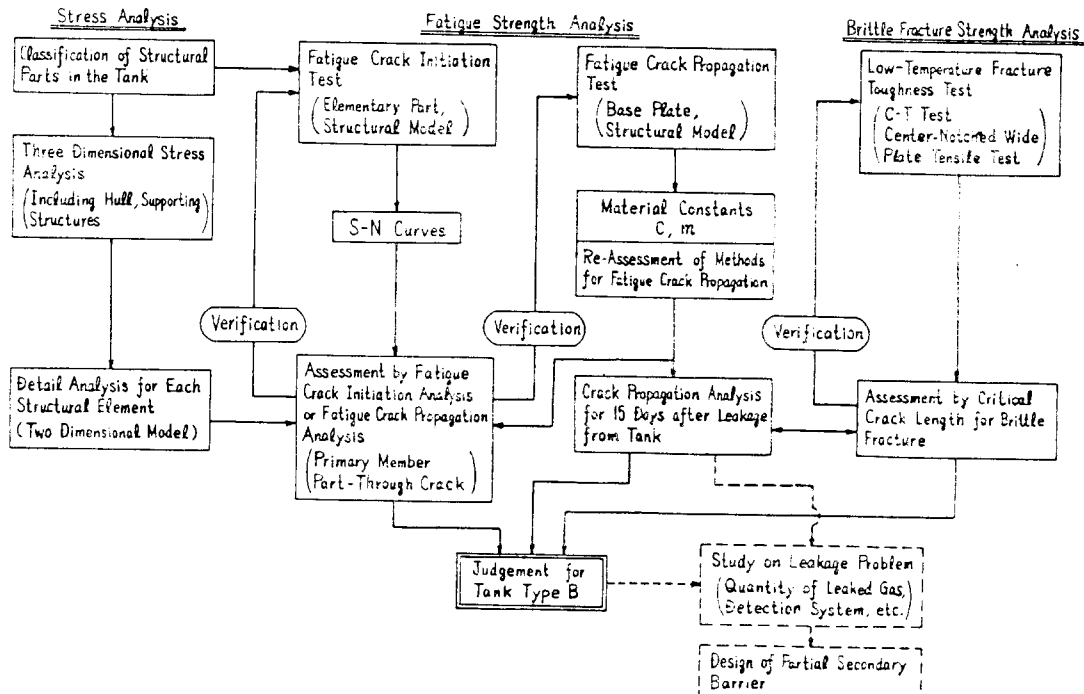


Fig. 6. 方式 獨立 Tank方式 低溫型 LPG船에 관한 Type B의 評價에 대한 Flow Chart

Table 1. Oil Tanker의 Trans and Lonyi Girder의 Member Slot 部에 대한 構造要素 分類

Object Structure	Ship Structure	Structure Component (Indication of External force and Stress)	Member Component (Local Stress Indication) -Stress Concentration-	Elementary Component
Deck Trans., Bolt. Trans., Side Trans., Longi. Trans.	Ring Structure such as Deck Trans., Bolt. Trans., Side Trans.	(Ex.) Bott. Trans. Slot Part		

등)에 의하여 分類한다. 또 그리고 防撓材 slot 등 局部構造를 포함하는 構造要素로 단일 또는 數枚의 板材로 立體組合으로 (部材要素라 稱한다) 集積되어 있다고 생각하여 終局的으로는 部材要素의 集合으로 分解되었다. Oil tanker의 수평 및 수직 거더등에 있는 등 縱部材貫通 slot部에 대한 構造要素 分類例를 Table 1에 나타내었다. 또 構造要素를 그 形狀과 境界力의 種類에 따라 類型化하고 그들을 實驗室에서의 試驗片과 같은 程度로 對應시킨 것이 Fig. 7에 나타낸 基本要素이다.

이와 같이 構造의 分類 mesh를 設定하므로서 균열 強度計算을 행할 때 model化 해야 할 범위(計算對象範圍)의 Guide line이 주어진다. model化의 範圍設定은 高次 不靜定 構造物에 있어서는 균열 進展의 内力再分配를 直接的으로 支配하므로 중요하다. 그리고 境

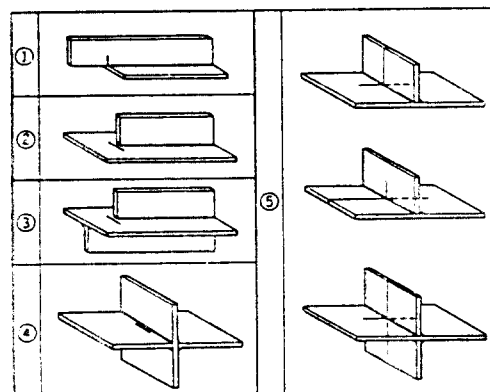


Fig. 7. 基本要素의 例

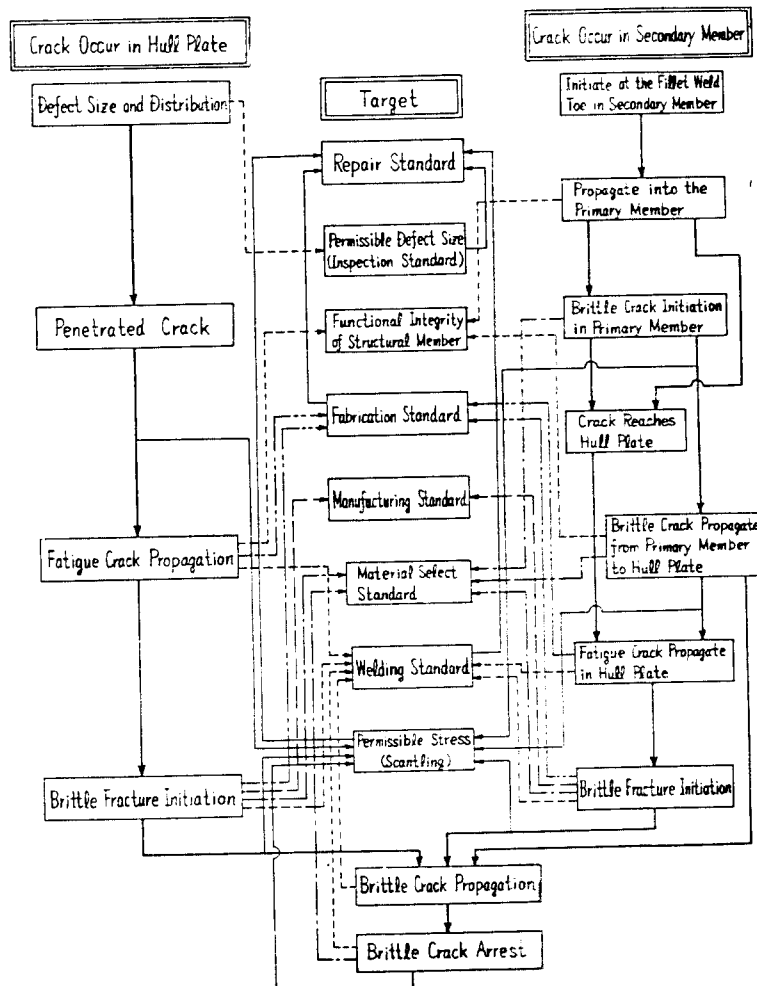


Fig. 8. 船殼破壊強度의 檢討 Flow Chart

界條件을 힘이 아닌 變位로서 주는 등의 것, 構造位置에 따른 便宜的 考慮 方法이 있지만 균열傳播나 停止를 취급할 때는 基本의으로 보다 넓은 범위를 對象으로 할 필요가 있다.

構造 pattern과 破壞樣式의 關連<sup>6)</sup>을 Table 2에 나타

Table 2. 構造 Pattern과 破壞樣式의 關連

Crack Mode	Classification Mesh	Ship Structure	Structure Component	Member Component	Elementary Component
Fatigue Crack	Initiation	—	—	—	◎
	Propagation	—	○	◎	○
	Stop	—	◎	◎	—
Brittle Crack	Initiation	—	—	◎	
	Propagation	○	◎	○	—
	Arrest	◎	◎	—	—

◎ : Mainly Correspondence

○ : May be Correspondence

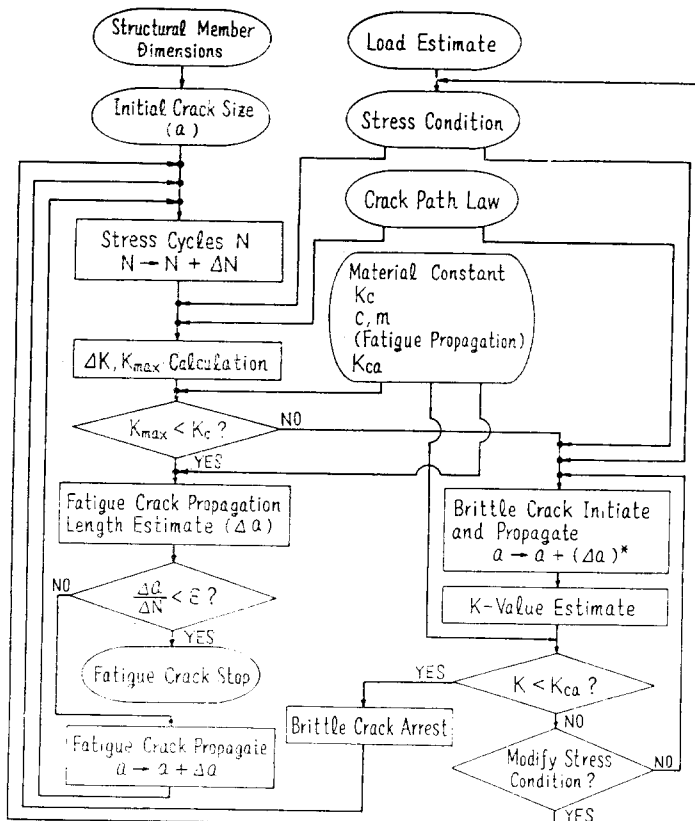


Fig. 9. 計算의 Flow Chart

나타냈다.

各種 基準은 어느 것이든 근본적으로 損傷을 防止한다. 基本概念이 있고 그런 의미에서 균열強度解析의 각각 計算條件이나 결과가 깊이 關與하고 있음이 당연하다 하겠다. 그런데 현시점에서는 균열強度解析과 諸設計基準이 전혀 異質的인 것으로 남아있는 면도 있고 이를 필요에 따라 어느 정도 統一融合 해나가야 하는 것 이 앞으로의 進行 方向이라 생각된다.

#### 4. 船舶에 있어서 破壞管理制御의 實際

##### 4.1 大型 油槽船 deck girder 強度의 檢討

板骨構造의 균열強度解析에 관한 대표적인例로 大型 油槽船 deck girder 및 그 주변의 甲板, 즉 deck girder 주변을 대상으로 하여 甲板(皮板)으로 傳播해가는 疲勞균열의 傳播壽命과 脆性균열 發生時의 균열치수 등에 대하여 檢討한例<sup>4,6-8)</sup>를 소개한다. 또 初期의 微小균열이 어떠한 傳播徑路를 거쳐서 擴大 進展하는가에 대해서도 고찰한다.<sup>4,6-8)</sup> 그리고 균열強度解析을 실시하기 위해 채택한 계산의 flow chart는 Fig. 9와 같다.

###### 4.1.1 計算의 前提條件

deck girder 주변의 치수를 Fig. 10과 같이 정하였다. 또 대상 構造를

- ① 溫度 : 0°C
- ② Kc值 :  $600 \text{kgf} \sqrt{\text{mm}} / \text{mm}^2$
- ③  $K_{ca}$ 值  $\approx K_c$ 值
- ④  $d_s/dN = 1.44 \times 10^{-9} (\Delta K)^{2.5}$

로 가정하였다.

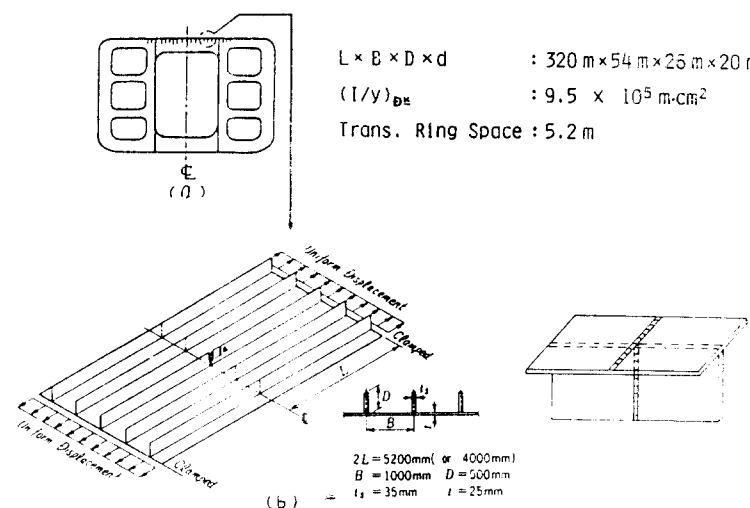


Fig. 10. 檢討對象 構造 및 部材 치수

外荷重條件으로는 波浪變動 및 靜水中의 船體縱方向 鉛垂 moment를 받는 것으로 하였다. 또 脆性破壞 發生(傳播, 停止)에 대해서는

$$\sigma_a(\text{變動應力}) + \sigma_m(\text{靜水中 應力}) = 20 \text{kgf/mm}^2$$

로 하였다. 그리고 疲勞균열의 傳播에 대해서는 等價인 一定 反復應力( $\sigma_a$ ), 즉  $N=10^8$ (回)의 反復應力에 대한 傳播균열 길이를 같게 하는 條件에서 구하여

$$\sigma_a = 3.05 \text{kgf/mm}^2$$

로 하였다.

한편 疲勞균열의 進展徑路에 대하여는 maximum stress criterion<sup>9)</sup>과 strain energy density criterion<sup>10)</sup>이 破壞力學 分析에 알려져 있다.

이러한 균열傳播률을 충실히 追跡하기 위해서는 균열 進展으로 인한 순간의 應力 또는 K值 計算이 필요하다. 그러나 순간마다 應力計算을 할 수 있을 만큼 다른 條件들이 정비되어 있지 않으며, 實船殼의 각종 損傷 例로 부터 어느 정도 類推可能하다는 점을 고려하여 균열傳播徑路에 대해서는 몇개의 徑路를 포함하는 flow chart(Fig. 11)를 가정하였다.

Fig. 11에서 흐름의 分岐點은 어떤 工學的 判斷條件을 도입할 때 비로서 어느 방향으로 進展하는지를 알 수 있다.

破壞力學에 의하면 疲勞균열의 성장속도나 脆性破壞로 移動하는 시기는 K值 計算에 의하여 評價할 수 있다. 그러나 構造物 中의 K值 評價에 있어서는 構造의 不定靜으로부터 발생되는 균열進展으로 인한 應力 再分

Table 3. 破壊機構 解析結果の代表例

Structural parts	Detailed structure	Stress condition (kg/mm <sup>2</sup> )	Fatigue crack initiation analysis			Fatigue crack propagation analysis			Unstable fracture analysis			
			$S_K - N_C$	Fatigue damage factor after 20 years)	Code	Judge- ment	Initial crack (mm)	Final crack (mm)	Code	Judge- ment	$K_c$ (kg/mm <sup>2</sup> )	Critical crack length $2a_c$ (mm)
1 Face plate	Face plate No.3 L.RNG	Base plate(C) $\sigma = 7.5 \pm 13.7$	Base plate	$< 10^{-4}$	○							
		Butt joint(③) $\sigma = 12.5 \pm 9.8$	Butt joint	$< 10^{-4}$	$C_w \leq 0.05$	○	—	—	—	—	—	—
		Butt joint(C) $\sigma = 7.3 \pm 14.6$	Butt joint	$3.69 \times 10^{-4}$	○							○
2 FRIG6 T.RING	Near slotted part	Tank corner near skin	Web stiffener end $\sigma = 2.3 \pm 6.1$		$C_w \leq 0.5$	○	Edge crack $b_0 = 1.5$	$b = 36.5$ at 10 years	○	—	—	—
		TSIDE ON END SL-11		0.07	○		$2a = 16.2, b = 7.6$ at 10 years		○	—	—	—
		① - ③	① - ③	0.13	$C_w \leq 0.5$	○	Surface crack $2a_0 = 5.0$ $b_0 = 1.5$	No penetra- tion of tank face date at 8 years $2a = 42$ at 10 years	○	—	—	—
3 Bracket	Bracket	TL TOP ON END TL-2	② $\sigma = 6.1 \pm 6.7$ $K_t = 1.4$	○								
		TL-2	③ $\sigma = 3.8 \pm 6.9$ $K_t = 1.4$	0.15	○		$2a = 11.7, b = 5.3$ at 10 years	○				
		④ between No.2 and No.3 L.Rings	④ - ⑤ $\sigma_u$ (tank plate) $= 2.1 \pm 2.8$	—	—	—	Through crack $2a = 40.0$	Note (1)	665 $(\text{HAZ } 8, C)$	$> 2.0 \text{ m}$ $(\sigma = 5.1)$	2a150 days after penetration	○
4 TRANS	Top center line chock	⑤ $\sigma_u$ (face plate) $= 2.3 \pm 2.6$	⑤ $\sigma_u$ (face plate) $= 2.3 \pm 2.6$	—	—	—						○
		Tank plate(B) $\sigma_M = 0.01 \pm 2.75$ $\sigma_B = 0.22 \pm 3.41$	Type filler joint	$< 10^{-4}$	$C_w \leq 0.5$	○	Surface crack $2a_0 = 5.0$ $b_0 = 1.5$	No propagation	690 $(\text{HAZ } 1, C)$	$> 2.0 \text{ m}$ $(\sigma = 4.3)$	2a150 days after penetration	○
		Roll key plate Tank top plate Roll key plate $\sigma_M = 0.62 \pm 10.1$ $\sigma_B = 0.38 \pm 5.51$	⑥ $\sigma_M = 5.3 \pm 6.3$	Butt joint	$7.05 \times 10^{-2}$	○	Penetrated at 10 years $2a = 45.7$	Note (2)	630 $(\text{HAZ } 25.4, C)$	$1.47 \text{ m}$ $(\sigma = 13.1)$	$> 2.0 \text{ m}$ $(\sigma = 11.6)$	○
5 Dome	Dome	⑦ $\sigma_M = 5.3 \pm 6.3$	⑦ $\sigma_M = 0.3 \pm 0.9$	Butt joint	$1.6 \times 10^{-6}$	○	Surface crack $2a_0 = 5.0$ $b_0 = 1.5$	Note (1)	665 $(\text{HAZ } 8, C)$	$> 2.0 \text{ m}$ $(\sigma = 11.6)$	2a150 days after penetration	○
		⑧ $\sigma_M = 2.6 \pm 10.0$	⑧ $\sigma_M = 3.04, b = 1.53$	Lap joint	$3.3 \times 10^{-2}$	○	$2a = 10 \text{ years}$	—	—	—	—	—

Note (1) Analysis of crack shape at penetration: Prediction of crack length 2a 150 days after penetration.

(2) Period that fatigue cracks reaches tank skin plate or the analyzed part loses its structural function: is not too short.

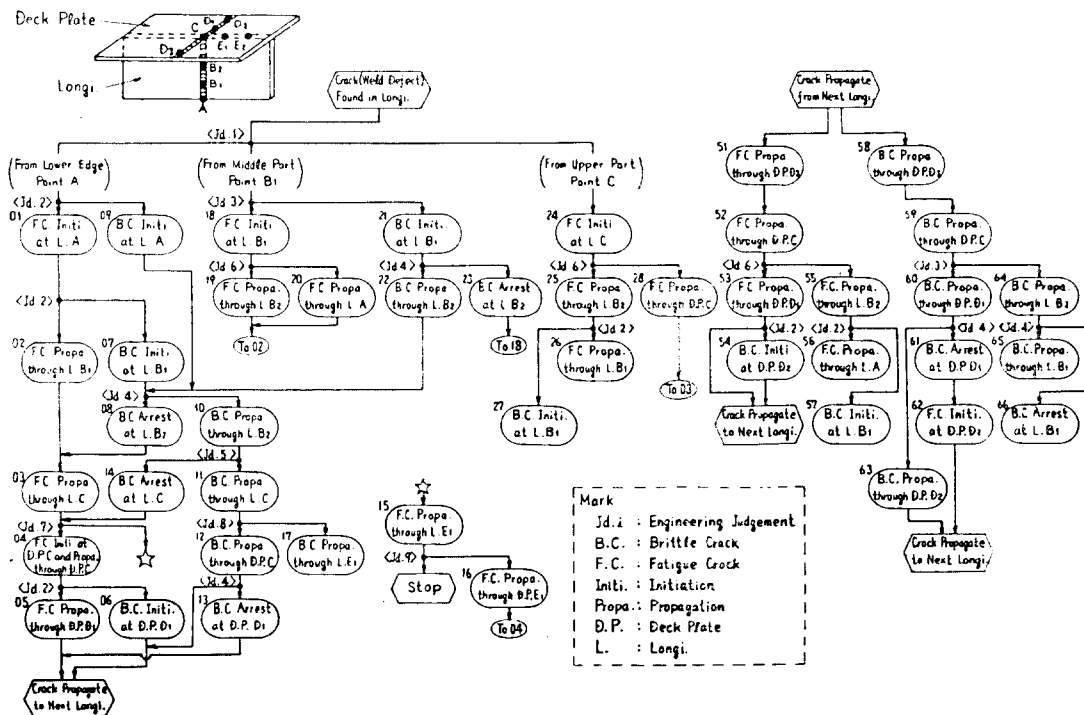


Fig. 11. 균열 進展 可能性이 있는 徑路

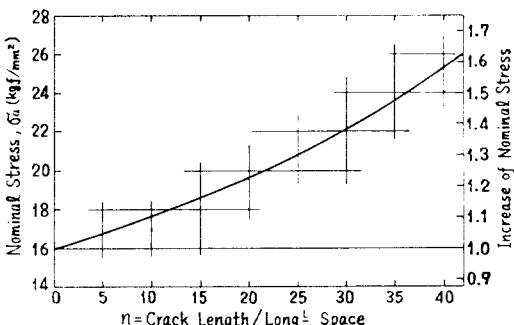


Fig. 12. 균열의 長大化에 따른 公稱應力 變動

配를 고려해야만 한다.

本稿의 計算에 있어서는 균열이 없는 경우의 變形量을 端部條件으로 부터 주는 것에 의해 近似的으로 應力再分配 效果를導入하겠다.

近似計算의 結果 甲板部 균열의 長大化로 인한 公稱應力의 變動은 Fig. 12와 같이 評價할 수 있다는 것을 알았다. Fig. 12에서  $n=5$  deck girder의 간격 만큼 균열이 進展한 경우 公稱應力의 變動은 5% 增加하였지만 이 정도면 船殼 全體의 剛性變化가 거의 無視할 수 있다고 判斷하였다. 따라서 이範圍 内에서는 端部變位를 一定(그 값은 균열이 없을 때의 값에一致)하게 하

는 近似計算이 許容된다고 생각하여도 좋을 것이다.

#### 4.1.2 균열強度 計算結果

앞의 Fig. 10에 보인 計算對象構造는 deck girder에 發生한 균열이 傳播하여 deck girder를 切斷하고 deck

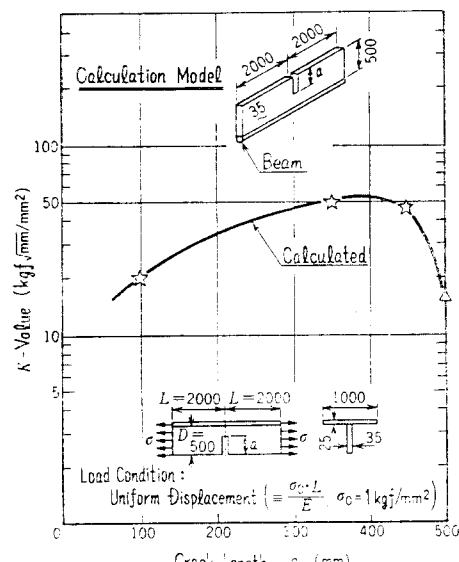
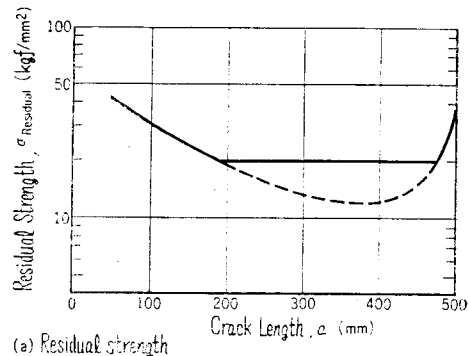


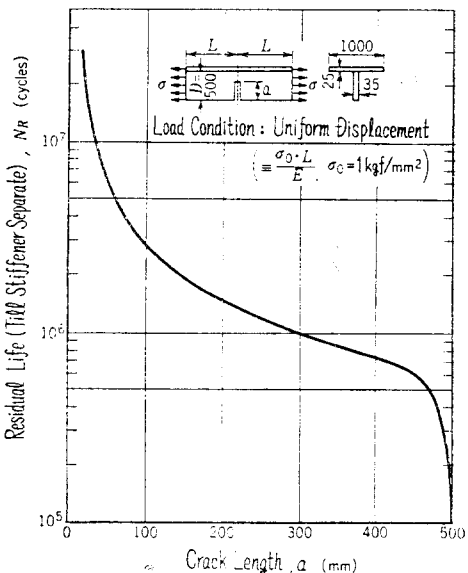
Fig. 13. Longi가 破斷되는 過程과 K值

plate에 侵入하는 過程까지를 數值 計算으로 追跡하여 본 것이다. 이때 熔接 残留應力이나 初期의 形狀의 不均一은 無視할 수 있다고 가정하여 一直線으로 deck girder를 切斷하고 그대로 deck plate에 進入하는 것으로 하였다. 또 이 構造部分이 받는 力學的 節界條件은 縱方向으로 引張荷重을 받는 것으로 하였다.

計算結果 중 girder가 破斷할 때 까지의 過程에 대해서는 K值가 變하는 모양을 Fig. 13에서 나타내었고, girder의 完全 破斷까지의 残餘壽命(residual life)과 残



(a) Residual strength



(b) Residual life

Fig. 14. Longi가 完全히 破斷될 때 까지의 残  
餘壽命과 残餘強度

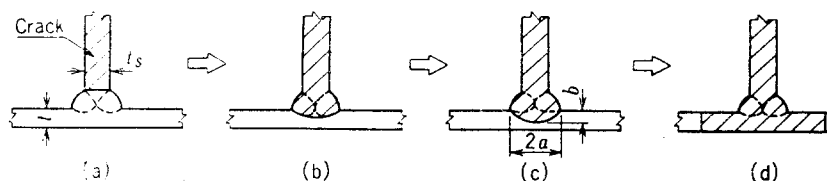


Fig. 15. 輪郭變化 (模式圖) (未熔着部가 欲する 경우)

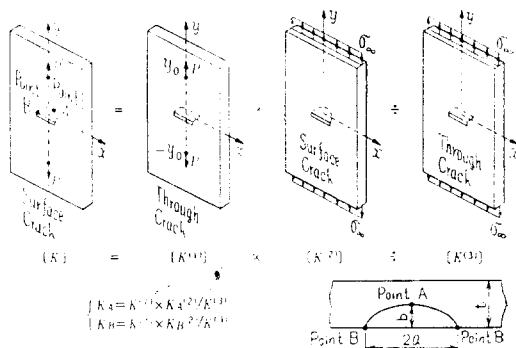


Fig. 16. 表面균열에 대한 K值의 簡易評價

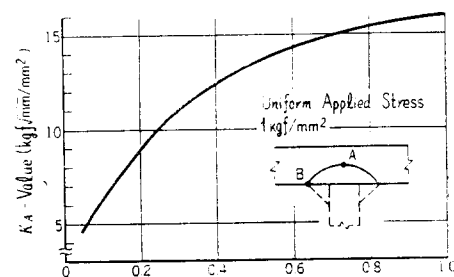
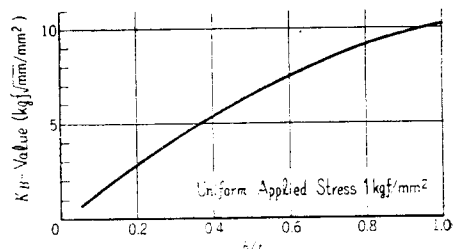
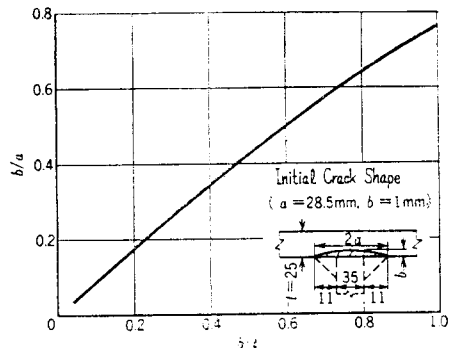


Fig. 17. Longi와 Deck Plate 交叉부의 表面균  
열의 成長狀況과 K值

餘強度(residual strength)는 Fig. 14에 나타내었다.

Fig. 14(a)의 残餘強度라 하는 것은 균열 길이가 a 인 상태에서 단 한번의 脆性균열을 發生시키는데 필요한 應力(荷重)이다. Fig. 13의 K值는 作用應力 1 kgf/mm<sup>2</sup> 때의 變形에 대한 것으로서 壽命評價에는 이것을 3倍로 하여 소정의 反復應力下의 值으로 換算하였다. K值의 計算法은 理論解와 有限要素法解와의 重疊法<sup>11)</sup>을 基本으로 하여 面內 K值 計算 Program<sup>12)</sup>을 用하여 구하였다.

또한 girder가 完全히 切斷된 상태, 다시 말하면 deck plate 板두께 内의 表面균열로 변한 상태에 대해서는 Fig. 5와 같이 균열 先端形狀의 변화를 가정하였다. 즉 板骨構造에 대한 汎用 有限要素法 program에

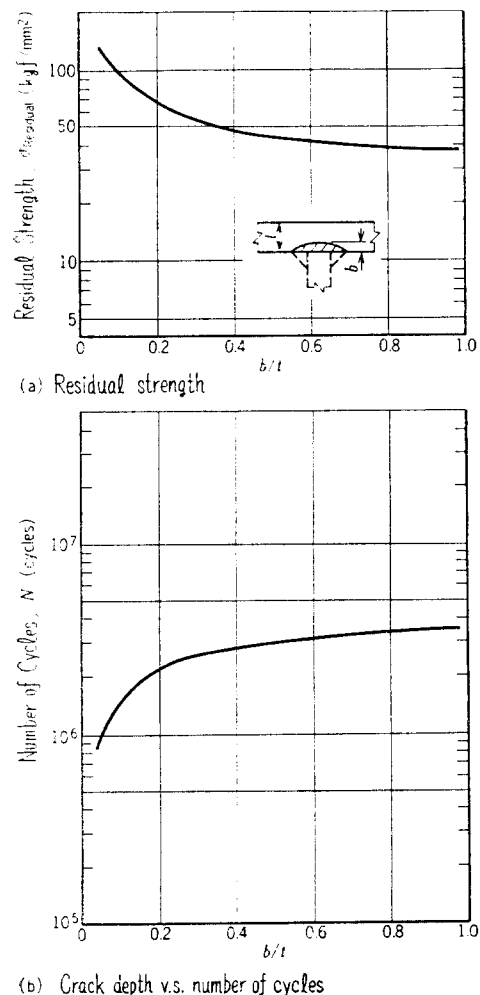


Fig. 18. Longwise Deck Plate 交叉部의 表面균열 成長狀況과 残餘強度

의하여, girder와 deck plate의 接合線과 따라 剪斷應力を 算定해 두고, Fig. 15(c)에서와 같은 表面균열의 균열先端 K值를 Fig. 16과 같이 近似法에 의하여 구하였다.

表面균열의 表面길이를 girder의 두께와 퀼렛다리 길이의 2倍의 합으로 취하고, 길이 1mm인 상태에서부터 表面균열의 形狀 및 壽命을 計算한 結果가 Fig. 17과 Fig. 18이다. Fig. 17에서 보는 바와 같이 불용착 部가 없는 model인 이例에서는 表面의 K值(K<sub>b</sub>值)과 最深部의 K值(K<sub>A</sub>值)와를 비교해 보면 表面의 點(Fig. 17에서 B點)이 傳播로 시작하기 전에 最深部의 點(Fig. 17에서 A點)이 板두께를 관통하게 될 것으로 추정된다.

Fig. 13의 右端部, 즉 균열 길이 500mm에서의 値은 이와 같은 관통이 발생하기 직전의 値를 나타내고 있다.

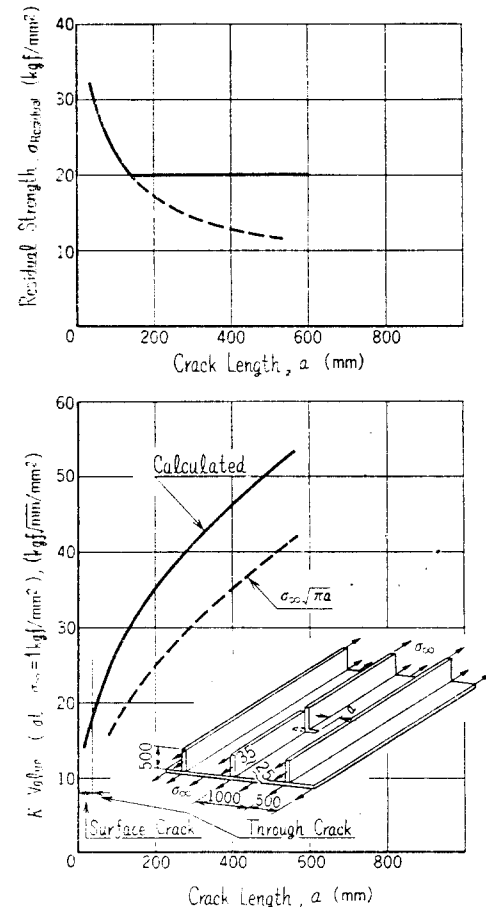


Fig. 19. Deck Plate에 侵入한 균열의 K值와 残餘強度

다음에 deck plate를 관통한 후의 균열傳播過程을 girder를 beam으로 생각해서 面內問題로 model化하여 計算한 결과를 Fig. 19에 나타내었다. 같은 그림에서 deck plate 중의 균열길이 반(a)이 약 130mm인 시점에서 残餘強度는  $20\text{kg/mm}^2$ 이고, 異常狀態荷重에 의하여 脆性균열化構造로 되는 것을 알 수 있다. deck plate 중의 균열이 더욱 進展하여 隣接한 girder에 接近하면, 板材交叉點에서 特有의 K值減少가 생긴다. 따라서 가령 균열길이 130mm 이하에서 脆性균열이 發生했다 해도 隣接 girder와의 거리 약 100~150mm의 위치에서 停止할 것이라는 것을 예측할 수 있다.

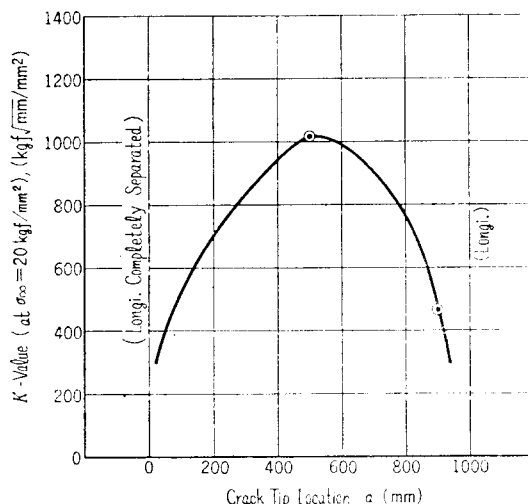


Fig. 20. 隣接 Longi의 存在로 인한 K值의 減少效果

#### 4.2 方形獨立Tank方式低溫型LPG船 Tank 強度의 Type B로서의 評價檢討

從來方形獨立Tank方式低溫型LPG Tank船에 대해서는 만일의 Tank破壞時를 고려하여, 二次防壁으로 된 船體內殼에는 Tank와 同等한 低溫用鋼을 義務的으로 사용하도록 되어 있었다. 그러나 아주 최근에는 Tank에 small leak protection system (leak before failure)이 成立하고 있는 것이 確認될 경우에는 二次防壁을 생각해도 좋다는 (Type B<sup>13)</sup>) 것이 實用화되어가고 있다.<sup>15)</sup>(Fig. 6 참조)

Type B로 評價가 成立하는 경우에는 二次防壁을 생각해도 좋다는 생각이 球形tank方式低溫型LNG船에서 이미 實用화 되어있고 實積도 많다.

球形tank에서는 small leak protection system이 成立하는 것을 確認하기 위한 균열強度解析(破壞機構解析)이 비교적 쉽기 때문이다. 그러나 方式 tank에서

는 소위 骨組構造로 되어 있어 균열強度解析의 대상이 주로 fillet熔接이음부이기 때문에 解析이 복雜하게 되는 難點이 있으므로 實用化가 늦어진 것이다.

##### 4.2.1 Type B의 立證 檢討方針

Fig. 6에 보인 바와 같이 Type B의 評價가 成立하는지의 檢討는 다음과 같은 方式에 따르게 된다.

즉 就航 중에 만일 tank의 皮材에서 疲勞균열이 發生成長하는 경우, 균열이 tank 皮材를 貫通하여 LPG가 漏洩하는 것이 檢知되고, tank 皮材의 損傷이 確認되거나서 최소한 15日間繼續航行可能하도록 義務化되어 있다. 그 사이에 疲勞균열이 脆性破壞로 옮겨가는 일이 절대로 있어서는 않되며 또 그 사이에 漏洩하기 시작한 LPG를 적당한 방법으로 처리하지 않으면 안되는 것은 물론이다. 그러므로 tank 각부의 應力條件가 가능한 한 정확히 把握되고, 어떠한 부분에서든 疲勞균열이 發生成長하여도 그 疲勞균열이 tank 皮材를 貫通할 때 形狀치수가 推定可能한 경우에는 Type B의 評價가 可能한 것이다.

##### 4.2.2 77,000m<sup>3</sup>型LPG船 tank의 破壞機構解析

77,000m<sup>3</sup>型LPG船(Fig. 21)을 對象으로 tank(Fig. 22)의 破壞機構解析 實施例를 소개한다.

먼저 tank의 3次元骨組構造解析을 船體를 포함한 Fig. 23과 같은 model에서 실시하였다. 立體骨組應力解析에서의 span中央의 應力크기는 把握되어도 主girder corner 근방의 應力評價는 곤란하기 때문에 상세한 主girder 2次元 F.E.M. 應力解析을 실시하였다. 構造model의 一例를 Fig. 24에 표시하였다.

또 tank 꼭대기 부의 Roll key, tank 바닥 부 Bearing부 등 局部構造에 대해서 上記 應力解析 結果를 界境條件으로 한 局部構造 3次元 F.E.M. 應力解析을 실시하였다.

一例로서 tank 꼭대기 부 Roll key의 F.E.M. 應力解析 model을 Fig. 25에 나타냈다. 그리고 이를 應力解析方法에 대한 妥當性을 檢證하기 위하여 앞에서 말한 3次元骨組應力解析 model 및 主girder의 2次元 F.E.M. 應力解析 model을 이용하여 tank watertest時의 荷重條件으로 應力解析을 실시하고, 實側 應力值와 解析值가 잘 일치하는 것을 확인하였다.(Fig. 26)

이들의 應力值를 이용하여 tank의 主要構造要素(主girder構造, tank板補強材, 支持材 및 tank板)에 대해서 疲勞균열 發生強度, 疲勞균열 傳播強度 및 脆性破壞(不安定破壞)強度 등에 破壞機構解析을 실시하였다.

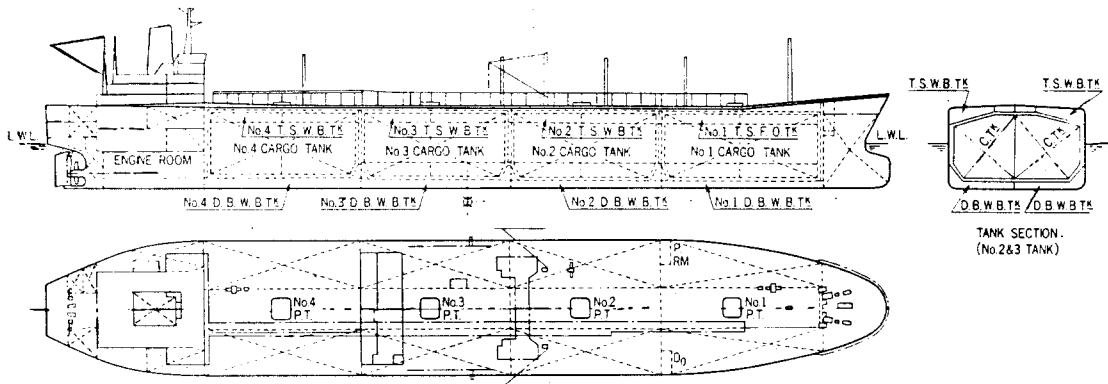


Fig. 21. 對象 LPG船의 概要圖

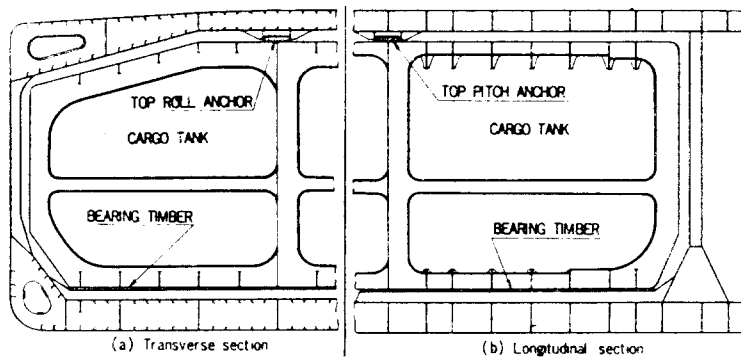


Fig. 22. LPG Tank의 主要斷面圖

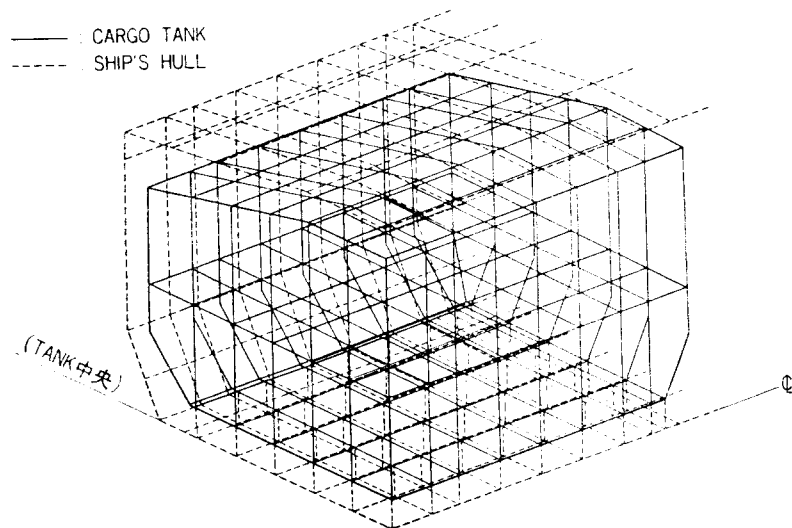


Fig. 23. Cargo Tank 및 그 주위의 船體構造의 應力解析 Model

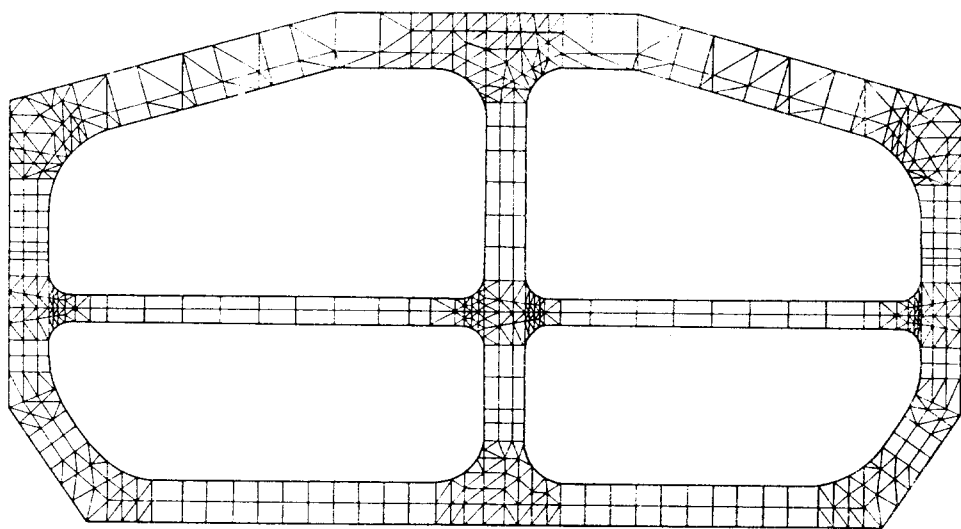


Fig. 24. Trans. Ring 應力解析 Model



Fig. 25. Top Roll Key 應力解析 Model

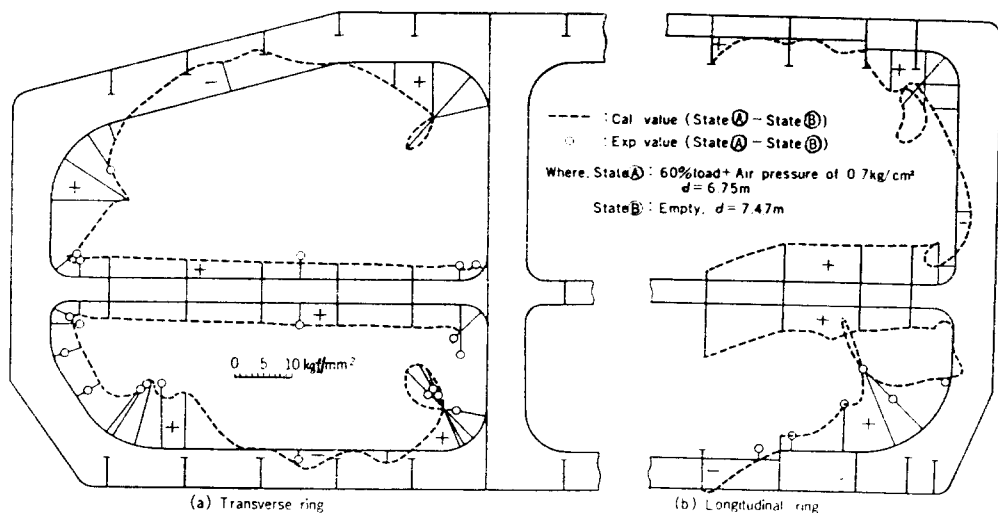


Fig. 26. Water Test による 應力解析 方法의妥當性의確認

解析結果의 대표적인例를 Table 3에 나타냈다.

結論의概要是 다음과 같다.

① 모든 解析對象에 대해서 確定 使用期間 20年間의 疲勞被害度는 极히 적고, 疲勞균열 發生強度는 충분하다.

② 疲勞균열이 發生하였다고 생각하는 경우, 그 傳播速度는 아주 느려서 疲勞損傷에 의한 큰 균열의 發生은 일어나지 않는다.

③ 疲勞균열이 成長하여 tank扳을 貫通하는 등 重要構造要素에 疲勞損傷으로 인한 큰 균열이 發生하였다고 생각한 경우에도 그 疲勞균열이 脆性破壞(不安定破壞)로 發展하는 現象은 생기지 않는다.

이상의 破壞構造 解析結果로 부터 檢討對象인 LPG船 tank는 Type B의 評價가 성립하는 것이 분명해졌다.

## 5. 結論

船舶에서의 破壞防止對策 方案중의 하나로서 船殼의破壞管理制御 現象 및 그 實際例 등에 대해 지금까지 설명했다. 船殼의破壞管理制御는 소위 Tatal Engineering 이고 破壞力學의 發展을 비롯하여 여러가지 要素의 技術進歩에 도움을 받아 實用化가 가능해졌다고 말할 수 있다. 더구나 船殼의破壞管理制御는 LNG船, LPG船과 같은 危險物 運搬船 또는 水海商船과 같은 高付加價值特殊船에만 限定되지 않고 一般船殼에 있어서도 그 質的合理性를追求할 수 있으므로 앞으로도 實用化가 推進되어야만 한다고 생각된다.

破壞力學을 비롯해서 諸技術의 日進日步로 急速히 發展하고 있는 상황으로 봐서 破壞管理制御에 대한 概念은 일상 設計業務 중에 꼭넓게 浸透되어 잘 것이다.

## 參考文獻

- 1) Symposium on Effect of Temperature on the Brittle Behavior of Metals with Particular Reference to Low Temperature ASTM, STP, No. 158, (1954)
- 2) 矢島浩, 松尾一義, AVANTI. I號脆性破壞事故例の調査, 三菱重工社内報告(1961) (未發表)
- 3) 最近の損傷船の事故調査報告, 日本海事協會
- 4) 渡邊昌建, 矢島浩, 川野始, 船殼構造の破壊管理制御設計, 三菱重工技報, Vol. 16, No. 5, (1979. 9)
- 5) 危險物の特性および運搬船の特殊設備に關する調査研究報告書, 研究資料, 日本造船研究協會 第三基準研究部會, No. 44R(1976. 3), No. 45R(1976. 3), No. 59R(1977. 3), No. 68R(1978. 3), および No. 78R(1979. 3)
- 6) 厚鋼板大入熱熔接縫手の脆性破壊強度および疲労強度に関する研究, 研究資料, 日本造船研究協會 第153研究部會, No. 267-2, (1978. 3)
- 7) 船體構造の破壊管理制御設計に関する研究, 研究資料, 日本造船研究協會 第169研究部會, No. 297, (1978. 3), No. 315, (1979. 3), No. 323, (1980. 3)および, 船體構造の破壊管理制御指針, (1983. 6)
- 8) 渡邊昌建, 矢島浩, 川野始, 船體構造要素の亀裂強度解析例, 日本造船學會 論文集, 第146號(1979. 12)
- 9) G.C. Sih, H. Liebowitz, Mathematical Theories of Brittle Fracture, Fracture, Vol. 2, (1968)
- 10) G.C. Sih, A special Theory of Crack Propagation Method of Analysis and Solution of Crack Problems, Mechanics of Fracture 1, Noordhoff Int. Pudl., Leiden (1973)
- 11) 山本善之, 德田直明, 板構造物中ワテツワの應力擴大係数の有限要素法による解析法, 日本造船學會論文集, 第130號, (1971. 12)
- 12) 安藤清, 船體構造部材の亀裂強度解析 一面内彈性問題一, 三菱重工技報, Vol. 10, No. 3(1973. 5)
- 13) Code for the Construction and Equipment of Ship Carrying Liquefied in Bulk, Adopted, IMCO Resolution A328(X), 12 NOV. (1975)
- 14) 渡邊昌建, 矢島浩, 的場正明, 安藤清, 伏見彬, 飯塚晴彦, 木下正一山下壽夫, 低温式LPG船 獨立型方型タンクのIMCOタイプB立證のための破壊構造解析, 三菱重工技報, Vol. 17, No. 3, (1980. 5)
- 15) Fracture Mechanics Analysis of Independent Prismatic Tank of Low-Temperature LPG Carrier for Verification of IMCO Type B, Mitsubishi Technical Bulletin, No. 147, (1981. 12)